

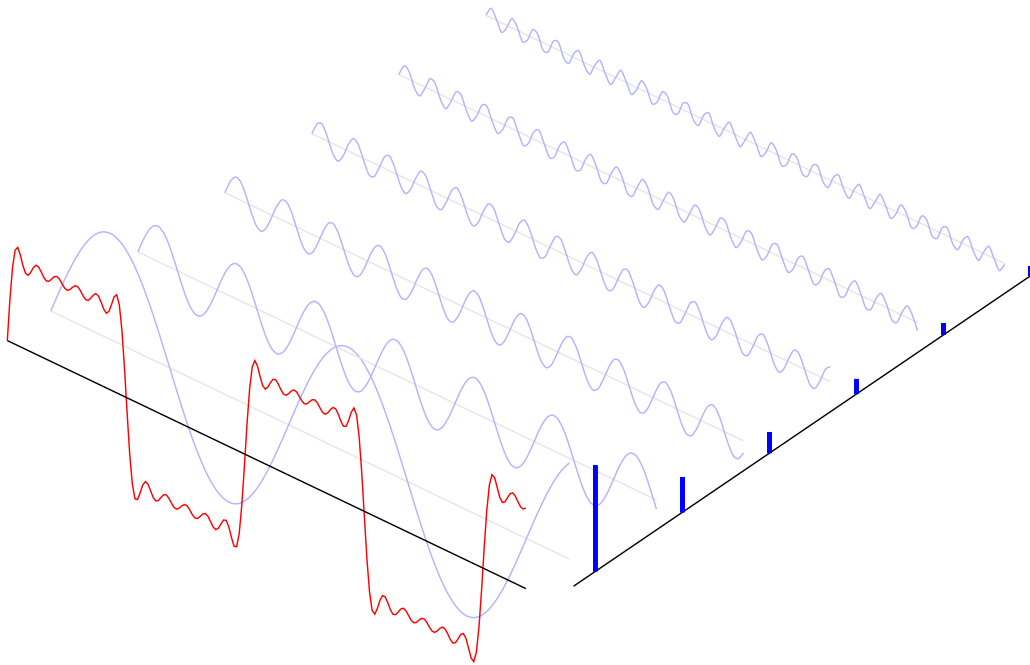
# Traitement de Signal

## Notes de cours avec exercices corrigés<sup>a</sup>

2020-2021

a. <https://github.com/a-mhamdi/isetbz/>

**Abdelbacet Mhamdi**  
Dr.-Ing. en GE – Technologue en GE



$$x(t) = \bar{x} + \sum_{k=1}^{+\infty} a_k \cos\left(2k\pi \frac{t}{T}\right) + \sum_{k=1}^{+\infty} b_k \sin\left(2k\pi \frac{t}{T}\right)$$

Dépt. GE - Institut Supérieur des Études Technologiques de Bizerte

$\Sigma$   
 $\int$   
 $\frac{d}{dt}$   
 $\omega$   
 $J$



# VIDÉO FFT FILTRAGE BLOQUEUR CONVOLUTION MODULATION FOURIER AUDIO BRUIT IMAGE

## À propos

Dans ce cours, nous traiterons essentiellement les points suivants :

- ★ Définition et classification des signaux;
- ★ Convolution 1D & 2D;
- ★ Décomposition en série de Fourier;
- ★ Transformée de Fourier;
- ★ Filtrage.

## Table des matières

<b>1</b>	<b>Mise en situation</b>	<b>1</b>
<b>2</b>	<b>Signaux &amp; systèmes</b>	<b>1</b>
<b>3</b>	<b>Analyse fréquentielle</b>	<b>1</b>
3.1	Introduction . . . . .	1
3.2	Formalisme mathématique . . . . .	1
3.3	Exemple d'une conversion via la série de Fourier . . . . .	3
3.4	Implémentation des signaux avec Python . . . . .	5
3.4.1	Signal carré . . . . .	5
3.4.2	Signal en dents de scie . . . . .	6
3.5	Exercices corrigés . . . . .	8
3.6	Conclusion . . . . .	13
3.7	Décomposition en série de Fourier . . . . .	13
3.8	Transformée de Fourier . . . . .	13
<b>4</b>	<b>Filtrage des signaux</b>	<b>13</b>

## 1 Mise en situation

## 2 Signaux & systèmes

## 3 Analyse fréquentielle

### Objectifs

Dans cette manipulation, nous allons :

- ★ rappeler le formalisme mathématique de la décomposition en série de Fourier
- ★ montrer le potentiel applicatif de cette transformation dans des applications des télécommunications.

### 3.1 Introduction

La transformée de Fourier en général est une approche qui permet d'exprimer une fonction comme la somme de ses projections sur une base de fonctions [Cod03]. La décomposition en série de Fourier en particulier est une expansion infinie d'une fonction périodique en termes de sinus et cosinus [FEF93]. Avec une telle décomposition, on peut construire un diagramme qui renseigne sur les amplitudes et phases de toutes les sinusoïdes pour toutes fréquences [Pet02]. Elle offre ainsi une nouvelle possibilité d'examiner le signal dans un autre domaine autre que le domaine temporel. Cette technique est largement utilisée dans plusieurs domaines, notamment la télécommunication. On en cite principalement :

- Compression de l'information (JPEG par exemple)
- Suppression de l'écho et filtrage
- Modulation et démodulation.

### 3.2 Formalisme mathématique

Soit  $x$  une fonction déterministe. Elle peut être entièrement définie comme une somme pondérée de fonctions sinusoïdales :

$$x(t) = f_0 \sin(\omega_0 t + \varphi_0) + f_1 \sin(\omega_1 t + \varphi_1) + \dots + f_k \sin(\omega_k t + \varphi_k) + \dots + f_n \sin(\omega_n t + \varphi_n)$$

Si  $x$  est périodique de période  $T$  (i.e. de pulsation  $\omega = \frac{2\pi}{T}$ ), elle admet alors une décomposition dite en **série de Fourier** avec  $\omega_k = k\omega \forall k \in \mathbb{N}$  :

$$x(t) = f_0 \underbrace{\sin(0\omega t + \varphi_0)}_{\sin(\varphi_0)} + f_1 \sin(\omega t + \varphi_1) + \dots + f_k \sin(k\omega t + \varphi_k) + \dots + f_n \sin(n\omega t + \varphi_n)$$

L'expression de  $x$  se réduit à

$$x(t) = \underbrace{f_0 \sin(\varphi_0)}_{a_0} + f_1 \sin(\omega t + \varphi_1) + \dots + f_k \sin(k\omega t + \varphi_k) + \dots + f_n \sin(n\omega t + \varphi_n)$$

Rappelons que :

$$\sin(\alpha + \beta) = \sin(\alpha) \cos(\beta) + \cos(\alpha) \sin(\beta), \quad \forall \alpha, \beta \in \mathbb{R}$$

Il en résulte que

$$\sin(\omega t + \varphi) = \cos(\omega t) \sin(\varphi) + \sin(\omega t) \cos(\varphi)$$

$$\sin(k\omega t + \varphi_k) = \cos(k\omega t) \sin(\varphi_k) + \sin(k\omega t) \cos(\varphi_k)$$

$$\sin(n\omega t + \varphi_n) = \cos(n\omega t) \sin(\varphi_n) + \sin(n\omega t) \cos(\varphi_n)$$

On en déduit que  $\forall k \in \mathbb{N}$  :

$$f_k \sin(k\omega t + \varphi_k) = \underbrace{f_k \sin(\varphi_k)}_{a_k} \cos(k\omega t) + \underbrace{f_k \cos(\varphi_k)}_{b_k} \sin(k\omega t) = a_k \cos(k\omega t) + b_k \sin(k\omega t)$$

On peut alors décomposer  $x$  comme suit :

$$x(t) = a_0 + a_1 \cos(\omega t) + b_1 \sin(\omega t) + \dots + a_k \cos(k\omega t) + b_k \sin(k\omega t) + \dots + a_n \cos(n\omega t) + b_n \sin(n\omega t)$$

Soit encore

$$x(t) = a_0 + \sum_{k=1}^{+\infty} a_k \cos(k\omega t) + \sum_{k=1}^{+\infty} b_k \sin(k\omega t)$$

On pose  $\Phi = \omega t$ , une mise à jour de  $x$  donne

$$x(\Phi) = a_0 + \sum_{k=1}^{+\infty} a_k \cos(k\Phi) + \sum_{k=1}^{+\infty} b_k \sin(k\Phi)$$

$$\begin{aligned} \int_0^{2\pi} \cos(i\Phi) d\Phi &= 0 & \int_0^{2\pi} \sin(i\Phi) d\Phi &= 0 & \int_0^{2\pi} \cos(i\Phi) \sin(j\Phi) d\Phi &= 0 \\ \int_0^{2\pi} \cos(i\Phi) \cos(j\Phi) d\Phi &= \pi \text{ ssi } i = j & \int_0^{2\pi} \sin(i\Phi) \sin(j\Phi) d\Phi &= \pi \text{ ssi } i = j \end{aligned}$$

$$\int_0^{2\pi} x(\Phi) d\Phi = a_0 \underbrace{\int_0^{2\pi} d\Phi}_{=2\pi} + \sum_{k=1}^{+\infty} \left[ a_k \underbrace{\int_0^{2\pi} \cos(k\Phi) d\Phi}_{=0} + b_k \underbrace{\int_0^{2\pi} \sin(k\Phi) d\Phi}_{=0} \right]$$

$$\int_0^{2\pi} x(\Phi) d\Phi = 2\pi a_0 \quad a_0 = \frac{1}{2\pi} \int_0^{2\pi} x(\Phi) d\Phi \quad a_0 = \frac{1}{T} \int_0^T x(t) dt$$

$$\int_0^{2\pi} x(\Phi) \cos(i\Phi) d\Phi = a_0 \underbrace{\int_0^{2\pi} \cos(i\Phi) d\Phi}_{=0} + \sum_{k=1}^{+\infty} \left[ a_k \underbrace{\int_0^{2\pi} \cos(k\Phi) \cos(i\Phi) d\Phi}_{=\pi \text{ ssi } (i=k)} + b_k \underbrace{\int_0^{2\pi} \sin(k\Phi) \cos(i\Phi) d\Phi}_{=\pi \text{ ssi } (i=k)} \right]$$

$$\int_0^{2\pi} x(\Phi) \cos(k\Phi) d\Phi = \pi a_k \quad a_k = \frac{1}{\pi} \int_0^{2\pi} x(\Phi) \cos(k\Phi) d\Phi \quad a_k = \frac{2}{T} \int_0^T x(t) \cos(k\omega t) dt$$

$$\int_0^{2\pi} x(\Phi) \sin(i\Phi) d\Phi = a_0 \underbrace{\int_0^{2\pi} \sin(i\Phi) d\Phi}_{=0} + \sum_{k=1}^{+\infty} \left[ a_k \underbrace{\int_0^{2\pi} \cos(k\Phi) \sin(i\Phi) d\Phi}_{=0} + b_k \underbrace{\int_0^{2\pi} \sin(k\Phi) \sin(i\Phi) d\Phi}_{=\pi \text{ ssi } (i=k)} \right]$$

$$\int_0^{2\pi} x(\Phi) \sin(k\Phi) d\Phi = \pi b_k \quad b_k = \frac{1}{\pi} \int_0^{2\pi} x(\Phi) \sin(k\Phi) d\Phi \quad b_k = \frac{2}{T} \int_0^T x(t) \sin(k\omega t) dt$$

Un signal périodique  $x(t)$  peut s'écrire de la façon suivante :

$$x(t) = \bar{x} + \sum_{k=1}^{\infty} a_k \cos\left(2k\pi \frac{t}{T}\right) + \sum_{k=1}^{\infty} b_k \sin\left(2k\pi \frac{t}{T}\right) \quad (1)$$

Le premier terme  $a_0$  dénote la valeur moyenne du signal et est donné par :

$$\bar{x} = \frac{1}{T} \int_0^T x(t) dt \quad (2)$$

Le terme  $a_k$  est :

$$a_k = \frac{2}{T} \int_0^T x(t) \cos\left(2k\pi \frac{t}{T}\right) dt \quad (3)$$

Le coefficient  $b_k$  est :

$$b_k = \frac{2}{T} \int_0^T x(t) \sin\left(2k\pi \frac{t}{T}\right) dt \quad (4)$$

### 3.3 Exemple d'une conversion via la série de Fourier

L'exemple étudié par la suite est inspiré des travaux [HMM19]. On se propose de déterminer la série de Fourier de la fonction périodique suivante :

$$x(t) = A \quad \text{si} \quad 0 \leq t \leq T/2 \quad (5)$$

$$= -A \quad \text{si} \quad T/2 \leq t < T \quad (6)$$

$$= -A \quad \text{si} \quad T/2 \leq t < T \quad (7)$$

$$(8)$$

Le signal est périodique, donc il admet une décomposition en série de Fourier telle que :

$$x(t) = a_0 + \sum_{k=1}^{\infty} a_k \cos\left(2k\pi \frac{t}{T}\right) + \sum_{k=1}^{\infty} b_k \sin\left(2k\pi \frac{t}{T}\right) \quad (9)$$

**Calcul de  $a_0$**  Le signal est centré par rapport à zéro donc  $a_0 = 0$ .

**Calcul de  $a_k$**  Le signal est impair puisque  $x(-t) = -x(t)$ , donc  $a_k = 0 \quad \forall k \geq 1$ .

**Calcul de  $b_k$**  Le coefficient  $b_k$  se calcule comme suit :

$$b_k = \frac{2}{T} \int_0^T f(t) \sin\left(2k\pi \frac{t}{T}\right) dt \quad (10)$$

$$= \frac{2}{T} \int_0^{T/2} A \sin\left(2k\pi \frac{t}{T}\right) dt - \frac{2}{T} \int_{T/2}^T A \sin\left(2k\pi \frac{t}{T}\right) dt \quad (11)$$

$$= -\frac{2}{T} A \left\{ \int_0^{T/2} \sin\left(2k\pi \frac{t}{T}\right) dt + \int_{T/2}^T \sin\left(2k\pi \frac{t}{T}\right) dt \right\} \quad (12)$$

Soit encore :

$$b_k = -\frac{2}{T} A \left\{ \left[ \frac{T}{2k\pi} \cos\left(2k\pi \frac{t}{T}\right) \right]_0^{T/2} + \left[ \frac{T}{2k\pi} \cos\left(2k\pi \frac{t}{T}\right) \right]_{T/2}^T \right\} \quad (13)$$

$$= \frac{A}{k\pi} \left\{ \underbrace{-\cos(k\pi)}_{\pm 1} + \underbrace{\cos(0)}_{+1} + \underbrace{\cos(2k\pi)}_{+1} - \underbrace{\cos(k\pi)}_{\pm 1} \right\} \quad (14)$$

Il en résulte :

$$b_k = \begin{cases} 0 & \text{si } k \text{ est pair} \\ \frac{4A}{k\pi} & \text{si } k \text{ est impair} \end{cases} \quad (15)$$

Compte tenu de ce qui précède, l'expression finale de la fonction  $x$  est :

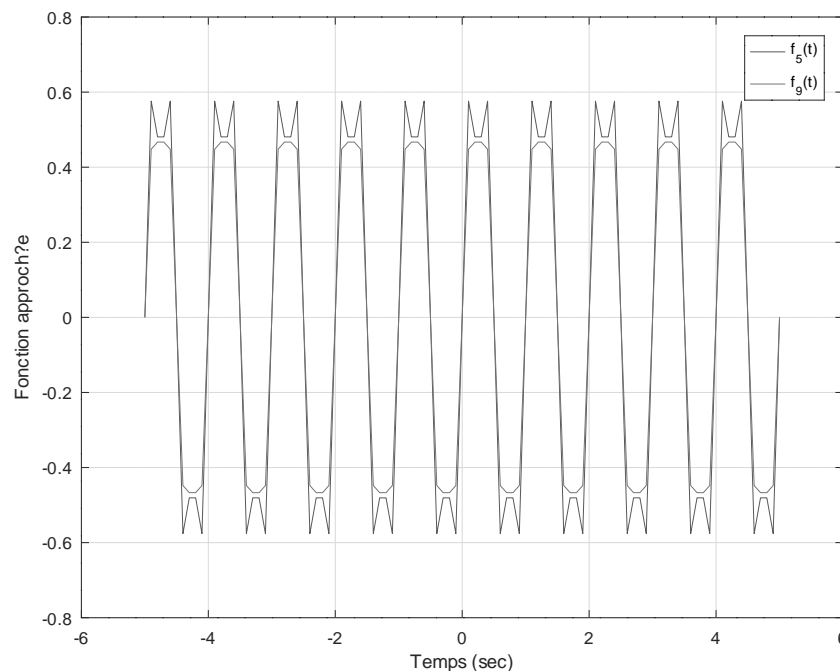
$$x(t) = \frac{4A}{\pi} \left\{ \sin\left(2\pi\frac{t}{T}\right) + \frac{1}{3} \sin\left(6\pi\frac{t}{T}\right) + \frac{1}{5} \sin\left(10\pi\frac{t}{T}\right) + \frac{1}{7} \sin\left(14\pi\frac{t}{T}\right) + \dots \right\} \quad (16)$$

**Résultats en simulation** La fonction  $x$  est choisie carrée, périodique de période  $T = 1$  sec et d'amplitude 0.5. Le code ci-dessous a été implémenté sous GNU Octave. Comme indiqué par Fig. ??, plus on augmente la valeur du  $k$ , plus la forme d'onde carrée apparaît et on se rapproche de la fonction initiale  $x$ .

```

1 clear all; clc
2 T = 1; % periode du signal
3 A = 0.5; % amplitude
4 vect = -5:0.1:5; % vecteur temps
5 wt = 2*pi/T*vect;
6 f5 = 4*A/pi*(sin(wt)+sin(3*wt)/3+sin(5*wt)/5); % k = 5
7 f9 = 4*A/pi*(sin(wt)+sin(3*wt)/3+sin(5*wt)/5+sin(7*wt)/7+sin(9*wt)/9); % k = 9
8 plot(vect, f5, vect, f9)
9 xlabel('Temps (sec)')
10 ylabel('Fonction f(t)')
11 legend('f_5(t)', 'f_9(t)')
12 grid on

```





### 3.4 Implémentation des signaux avec Python

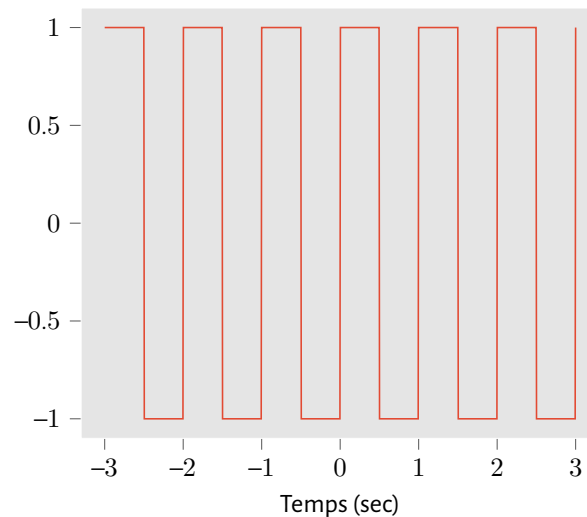
```
[21]: import numpy as np
      from scipy import signal
      import matplotlib.pyplot as plt

      plt.style.use("ggplot")
```

#### 3.4.1 Signal carré

```
[22]: nt = 1000
      t = np.linspace(-3,3,nt)
      wt = 2 * np.pi * t/1 # F = 1Hz, i.e. T = 1 sec
```

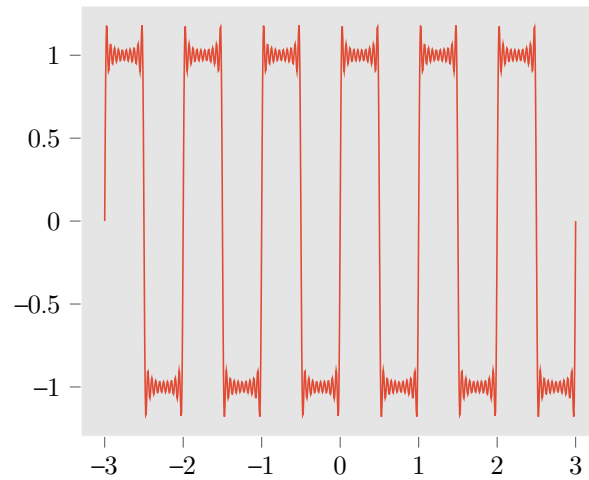
```
[23]: x = signal.square(wt, 0.5) # Amplitude A = 1
      plt.plot(t,x)
      plt.grid()
      plt.xlabel('Temps (sec)')
```



$$x \approx \sum_{k=1}^{\infty} b_k \sin(k\omega t) \quad b_k = \frac{4}{k\pi}$$

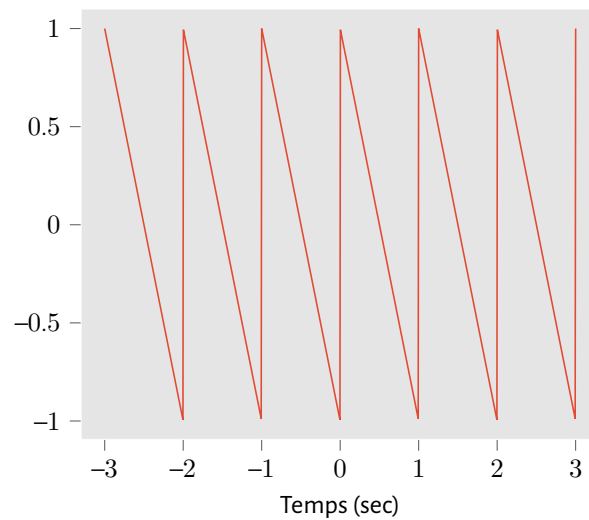
```
[25]: xapp_lst = [ 4/(k*np.pi) * np.sin(k * wt) for k in range(1,20,2) ]
      print(type(xapp_lst))
      xapp_np = np.asarray(xapp_lst) # Conversion list --> numpy
      print(type(xapp_np))
      print(xapp_np.shape)
      xapp = xapp_np.sum(axis=0) # Somme sur les colonnes
      print(xapp.shape)
      plt.plot(t, xapp)
      plt.grid()
```

```
<class 'list'>
<class 'numpy.ndarray'>
(10, 1000)
(1000,)
```



### 3.4.2 Signal en dents de scie

```
[27]: plt.plot(t, signal.sawtooth(wt, 0))
plt.grid()
plt.xlabel('Temps (sec)')
```



La troncature de  $x$  sur une période est :

$$x(t) = \Gamma - 2r$$

La valeur moyenne de  $x$  :

$$\begin{aligned}
 \bar{x} &= \frac{1}{1} \int_0^1 (\Gamma - 2r) dt \\
 &= \int_0^1 (1) dt - 2 \int_0^1 (t) dt \\
 &= 1 - 2 \left[ \frac{t^2}{2} \right]_0^1 \\
 &= 1 - 1 \\
 &= 0
 \end{aligned}$$

$$x = \bar{x} + x_{\sim}(t)$$

Le signal  $x$  est impaire  $\implies a_k = 0 \forall k$

$$x_{\sim} = \sum_{k=1}^{\infty} b_k \sin(k\omega t) \quad b_k = \frac{2}{T} \int_0^T x(t) \sin(k\omega t)$$

**Calcul de  $b_k$**

$$\begin{aligned}
 b_k &= \frac{2}{1} \int_0^1 x(t) \sin(k\omega t) \\
 &= 2 \int_0^1 (\Gamma - 2r) \sin(k\omega t) \\
 &= 2 \underbrace{\int_0^1 1 \sin(k\omega t)}_{=0} - 4 \int_0^1 t \sin(k\omega t) \\
 &= -4 \int_0^1 \underbrace{t}_F \underbrace{\sin(k\omega t)}_g \\
 &= -4 \left( \left[ FG \right]_0^1 - \int_0^1 fG \right) \\
 &= 4 \left( \left[ t \frac{1}{k\omega} \cos\left(k \frac{2\pi}{1} t\right) \right]_0^1 - \int_0^1 \frac{1}{k\omega} \cos(k\omega t) dt \right) \\
 &= 4 \left( \frac{1}{2k\pi} \right) \\
 &= \frac{2}{k\pi}
 \end{aligned}$$

$$(FG)' = fG + gF$$

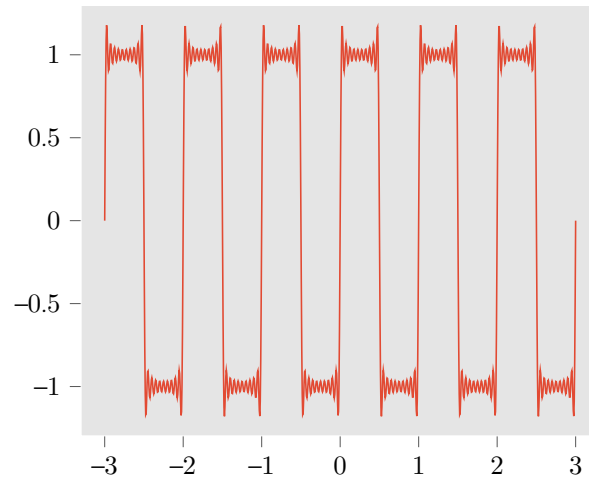
$$F(t) = t \rightarrow f(t) = 1$$

$$g(t) = \sin(k\omega t) \rightarrow G(t) = -\frac{1}{k\omega} \cos(k\omega t)$$

```
[28]: xapp_lst = [ 2/(k*np.pi) * np.sin(k * wt) for k in range(1,20) ]
xapp_np = np.asarray(xapp_lst) # Conversion list --> numpy
xapp = xapp_np.sum(axis=0) # Somme sur les colonnes

plt.subplot(1,2,1)
```

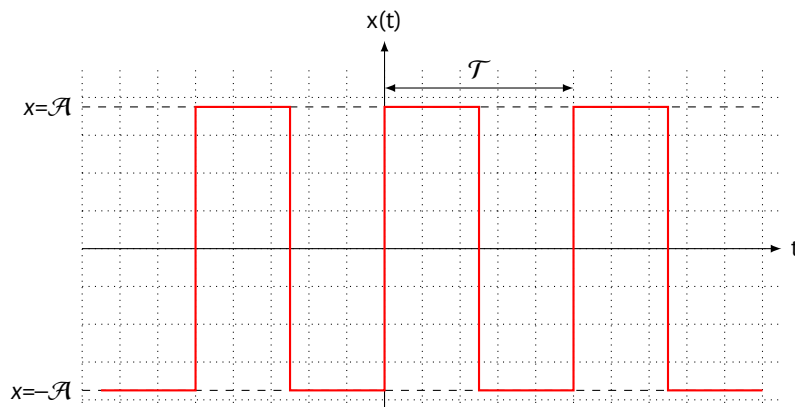
```
plt.plot(t, signal.sawtooth(wt, 0))
plt.grid()
plt.xlabel('Temps (sec)')
plt.subplot(1,2,2)
plt.plot(t, xapp)
plt.grid()
plt.xlabel('Temps (sec)')
```



### 3.5 Exercices corrigés

#### Exercice

Calculer la décomposition en série de Fourier d'un signal carré d'amplitude  $\mathcal{A}$  et de période  $\mathcal{T}$  :



$$\begin{aligned} x(t) &= \bar{x} + x_-(t) \\ &= \bar{x} + \sum_{k=1}^{+\infty} \left( a_k \cos\left(2k\pi \frac{t}{\mathcal{T}}\right) + b_k \sin\left(2k\pi \frac{t}{\mathcal{T}}\right) \right) \end{aligned}$$

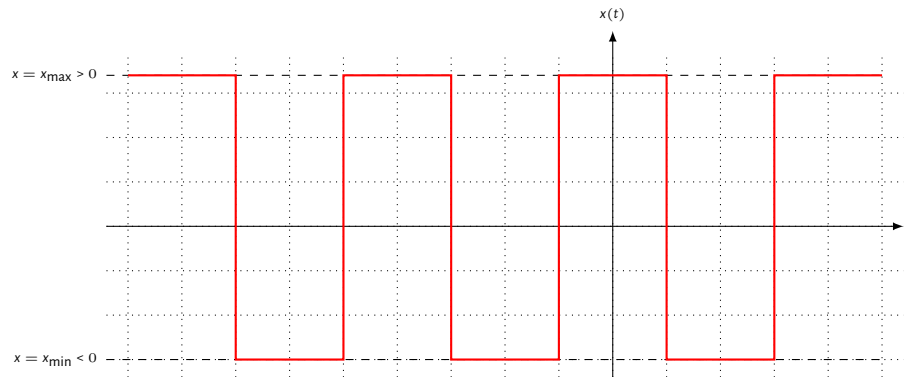
- Signal centré p/r à zéro  $\rightarrow \bar{x} = 0$
- Signal impair  $\rightarrow a_k = 0$ .

$$\begin{aligned}
 x(t) &= \sum_{k=1}^{+\infty} \left( b_k \sin \left( 2k\pi \frac{t}{T} \right) \right), \quad \text{où} \\
 b_k &= \frac{2}{T} \int_0^T \left\{ 2\mathcal{A}\Gamma_0 - 2\mathcal{A}\Gamma_{\frac{T}{2}} \right\} \sin \left( 2k\pi \frac{t}{T} \right) dt \\
 &= \frac{4\mathcal{A}}{k\pi}, \quad \text{pour tout } k \text{ impair.}
 \end{aligned}$$

### Exercice

Soit le signal carré  $x$ , de valeur maximale  $x_{\max} > 0$ , de valeur minimale  $x_{\min} < 0$  et de période  $T$  indiqué par Fig. ??.

1. Calculer sa valeur moyenne  $\bar{x}$ .
2. Calculer sa valeur efficace  $x_e$ .
3. Déterminer sa décomposition en série de Fourier



$$\bar{x} = \frac{1}{T} \left\{ x_{\max} \frac{T}{2} + x_{\min} \frac{T}{2} \right\}$$

$$\bar{x} = \frac{x_{\max} + x_{\min}}{2}$$

$$\begin{aligned}
x_e &= \sqrt{\frac{1}{T} \int_0^T x^2 dt} \\
&= \sqrt{\frac{1}{T} \left\{ \int_0^{T/4} x_{\max}^2 dt + \int_{T/4}^{3T/4} x_{\min}^2 dt + \int_{3T/4}^T x_{\max}^2 dt \right\}} \\
&= \sqrt{\frac{1}{T} \left\{ x_{\max}^2 \frac{T}{2} + x_{\min}^2 \frac{T}{2} \right\}} \\
&= \sqrt{\frac{x_{\max}^2 + x_{\min}^2}{2}}
\end{aligned}$$

$$x_e = \sqrt{\frac{x_{\max}^2 + x_{\min}^2}{2}}$$

$$\begin{aligned}
x(t) &= \bar{x} + x_-(t) \\
&= \bar{x} + \sum_{k=1}^{+\infty} \left( a_k \cos\left(2k\pi \frac{t}{T}\right) + b_k \sin\left(2k\pi \frac{t}{T}\right) \right)
\end{aligned}$$

Le signal  $x(t)$  s'écrit sur une période comme suit :

$$\begin{aligned}
x(t) &= x_{\max} \left( \Gamma(t) - \Gamma_{\frac{T}{4}}(t) \right) + x_{\min} \left( \Gamma_{\frac{T}{4}}(t) - \Gamma_{\frac{3T}{4}}(t) \right) + x_{\max} \Gamma_{\frac{3T}{4}}(t) \\
&= x_{\max} \Gamma(t) + (x_{\min} - x_{\max}) \Gamma_{\frac{T}{4}}(t) + (x_{\max} - x_{\min}) \Gamma_{\frac{3T}{4}}(t).
\end{aligned}$$

Le signal est pair. Ainsi, les termes  $b_k$  sont nuls. Les termes  $a_k$  sont :

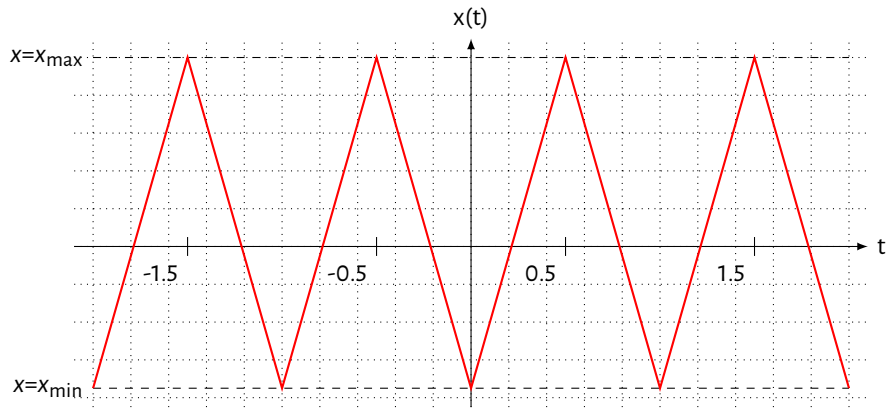
$$\begin{aligned}
a_k &= \frac{2}{T} \int_0^T \left\{ x_{\min} \Gamma(t) + (x_{\max} - x_{\min}) \Gamma_{\frac{T}{4}}(t) + (x_{\min} - x_{\max}) \Gamma_{\frac{3T}{4}}(t) \right\} \cos\left(2k\pi \frac{t}{T}\right) dt \\
&= \underbrace{2 \frac{x_{\max}}{T} \int_0^T \cos\left(2k\pi \frac{t}{T}\right) dt}_{=0} + 2 \frac{(x_{\min} - x_{\max})}{T} \int_{\frac{T}{4}}^T \cos\left(2k\pi \frac{t}{T}\right) dt \\
&\quad + 2 \frac{(x_{\max} - x_{\min})}{T} \int_{\frac{3T}{4}}^T \cos\left(2k\pi \frac{t}{T}\right) dt \\
&= 2 \frac{(x_{\min} - x_{\max})}{T} \int_{\frac{T}{4}}^{\frac{3T}{4}} \cos\left(2k\pi \frac{t}{T}\right) dt \\
&= \frac{(x_{\min} - x_{\max})}{k\pi} \left\{ \sin\left(k \frac{3\pi}{2}\right) - \sin\left(k \frac{\pi}{2}\right) \right\}.
\end{aligned}$$

La fonction  $x(t)$  peut être approximée par la description suivante :

$$\begin{aligned}
x(t) \approx & \frac{(x_{\max} + x_{\min})}{2} + 2 \frac{(x_{\max} - x_{\min})}{\pi} \left\{ \cos\left(2\pi \frac{t}{T}\right) - \frac{1}{3} \cos\left(6\pi \frac{t}{T}\right) + \frac{1}{5} \cos\left(10\pi \frac{t}{T}\right) \right. \\
& \left. - \frac{1}{7} \cos\left(14\pi \frac{t}{T}\right) \dots \right\}.
\end{aligned}$$

## Exercice

Déterminer la décomposition en série de Fourier de la fonction représentée par le graphique suivant :



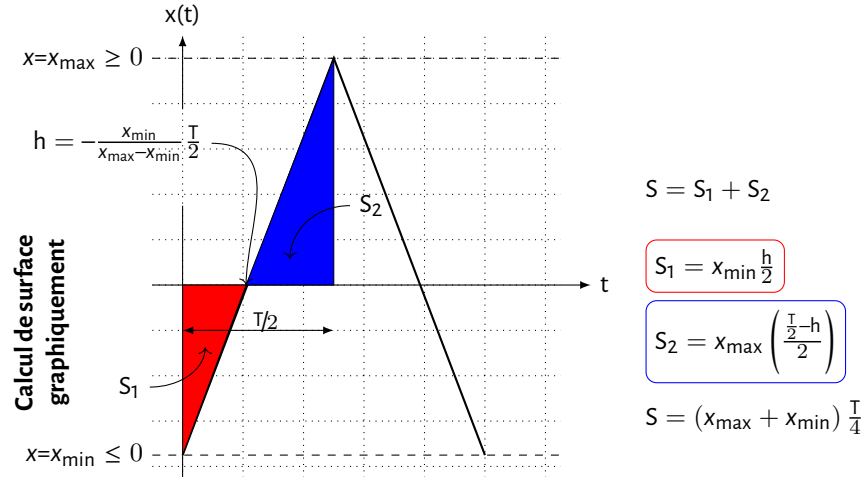
$$\begin{aligned} x(t) &= \bar{x} + x_-(t) \\ &= \bar{x} + \sum_{n=1}^{+\infty} \left( a_k \cos\left(2k\pi \frac{t}{T}\right) + b_k \sin\left(2k\pi \frac{t}{T}\right) \right) \end{aligned}$$

- Signal n'est pas centré p/r à zéro  $\rightarrow \bar{x} \neq 0$
- Signal pair  $\rightarrow b_k = 0$ .

Sur une période, le signal  $x$  s'écrit comme suit :

$$\begin{aligned} x(t) &= x_{\min} \Gamma_0 + 2 \frac{x_{\max} - x_{\min}}{T} \left\{ r_0 - 2r_{\frac{T}{2}} \right\} \\ &= x_{\min} \Gamma_0 + 2 \frac{x_{\max} - x_{\min}}{T} \left\{ t \Gamma_0 - 2\left(t - \frac{T}{2}\right) \Gamma_{\frac{T}{2}} \right\} \end{aligned}$$

La valeur moyenne  $\bar{x}$  peut être déterminée par :



Ou encore  $\bar{x}$  comme suit :

$$\begin{aligned}
 \bar{x} &= \frac{1}{T} \int_0^T x(t) dt \\
 &= x_{\min} + 2 \frac{x_{\max} - x_{\min}}{T^2} \int_0^T \left\{ t \Gamma_0 - 2 \left( t - \frac{T}{2} \right) \Gamma_{\frac{T}{2}} \right\} dt \\
 &= x_{\min} + 2 \frac{x_{\max} - x_{\min}}{T^2} \left\{ \int_0^T t dt - 2 \int_{T/2}^T t dt + \frac{T^2}{2} \right\} \\
 &= \frac{1}{2} (x_{\max} + x_{\min})
 \end{aligned}$$

$$\begin{aligned}
 x_{\sim}(t) &= \sum_{k=1}^{+\infty} \left( a_k \cos \left( 2k\pi \frac{t}{T} \right) \right), \quad \text{où} \\
 a_k &= \frac{2}{T} \int_0^T x(t) \cos \left( 2k\pi \frac{t}{T} \right) dt \\
 &= \frac{2}{T} \int_0^T \left( x_{\min} \Gamma_0 + 2 \frac{x_{\max} - x_{\min}}{T} \left\{ t \Gamma_0 - 2 \left( t - \frac{T}{2} \right) \Gamma_{\frac{T}{2}} \right\} \right) \cos \left( 2k\pi \frac{t}{T} \right) dt
 \end{aligned}$$

$$\begin{aligned}
 \mathcal{I}_1 &= \frac{2}{T} x_{\min} \int_0^T \cos \left( 2k\pi \frac{t}{T} \right) dt \\
 &= 0
 \end{aligned}$$

$$\begin{aligned}
 \mathcal{I}_2 &= \frac{4}{T^2} (x_{\max} - x_{\min}) \int_0^T t \cos \left( 2k\pi \frac{t}{T} \right) dt \\
 &= 0
 \end{aligned}$$

$$\begin{aligned}
 \mathcal{I}_3 &= -\frac{8}{T^2} (x_{\max} - x_{\min}) \int_{\frac{T}{2}}^T t \cos \left( 2k\pi \frac{t}{T} \right) dt \\
 &= 2 \frac{1 - (-1)^k}{k^2 \pi^2} (x_{\max} - x_{\min})
 \end{aligned}$$



$$\begin{aligned} \mathcal{I}_4 &= \frac{4}{T} (x_{\max} - x_{\min}) \int_{\frac{T}{2}}^T \cos\left(2k\pi \frac{t}{T}\right) dt \\ &= 0 \end{aligned}$$

$$a_k = \mathcal{I}_1 + \mathcal{I}_2 + \mathcal{I}_3 + \mathcal{I}_4 \quad a_k = 2 \frac{1 - (-1)^k}{k^2 \pi^2} (x_{\max} - x_{\min})$$

Temps continu

Temps discret

$$x(t) = \sum_{k=-\infty}^{\infty} c_k \exp^{jk\omega t} \quad x[n] = \sum_{k=\langle N \rangle} c_k \exp^{jk \frac{2\pi}{N} n}$$

$$c_k = \frac{1}{T} \int_T x(t) \exp^{-jk\omega t} dt \quad c_k = \frac{1}{N} \sum_{n=\langle N \rangle} x[n] \exp^{-jk \frac{2\pi}{N} n}$$

### 3.6 Conclusion

La décomposition en série de Fourier est une procédure mathématique qui permet de décrire une fonction périodique par des termes oscillants en sinus et cosinus de fréquences multiples de la fréquence du signal initial. Cette approche permet d'analyser des signaux et de concevoir des systèmes en télécommunications.

### 3.7 Décomposition en série de Fourier

### 3.8 Transformée de Fourier

## 4 Filtrage des signaux

## Références

- [Bra99] R. N. BRACEWELL. *The Fourier Transform & Its Applications*. McGraw-Hill Science/Engineering, 1999.
- [FEF93] A. K. FRITZ E. FROELICH. *The Froehlich/Kent Encyclopedia of Telecommunications*. Taylor & Francis Inc, 24 sept. 1993. 496 p. (cf. p. 1).
- [God03] R. GODEMENT. *Analyse mathématique II : Calcul différentiel et intégral, séries de Fourier, fonctions holomorphes*. Springer Berlin Heidelberg, 12 juin 2003. 500 p. (cf. p. 1).
- [HMM19] A. HASAN, M. MEIA et M. MOSTOFA. "Applications of Fourier Series in Electric Circuit and Digital Multimedia Visualization Signal Process of Communication System". Dans : *American Journal of Circuits, Systems and Signal Processing* 4.4 (jan. 2019), pp. 72-80 (cf. p. 3).
- [Jam11] J. F. JAMES. *A Student's Guide to Fourier Transforms : With Applications in Physics and Engineering (Student's Guides)*. Cambridge University Press, 2011.
- [Kay13] S. M. KAY. *Fundamentals of Statistical Signal Processing, Volume III : Practical Algorithm Development (Prentice-Hall Signal Processing Series)*. Prentice Hall, 2013.
- [Pet02] J. PETERSEN. *The Telecommunications Illustrated Dictionary*. Boca Raton, FL : CRC Press, 2002 (cf. p. 1).
- [Tre01] H. L. V. TREES. *Detection, Estimation, and Modulation Theory, Part I (Pt. 1)*. Wiley-Interscience, 2001.
- [Unp13] J. UNPINGCO. *Python for Signal Processing : Featuring IPython Notebooks*. Springer, 2013.
- [Yam+18] R. YAMASHITA et al. "Convolutional neural networks : an overview and application in radiology". Dans : *Insights into Imaging* 9.4 (août 2018), pp. 611-629. DOI : [10.1007/s13244-018-0639-9](https://doi.org/10.1007/s13244-018-0639-9).